

## تقصي انتشار بعض الفيروسات المرافقة لظاهرة عدم توازن العنب/الكرمة في سوريا

صلاح الشعبي<sup>1</sup>، فايز إسماعيل<sup>1</sup>، خلون الجبر<sup>2</sup>، محمد جمال مندو<sup>1</sup>، منار أبو جيش<sup>3</sup> وسليمى إبراهيم<sup>1</sup>

(1) الهيئة العامة للبحوث العلمية الزراعية، إدارة بحوث وقاية النبات، دوما، دمشق، سوريا، البريد الإلكتروني: gcsarshaabi@mail.sy؛  
 (2) مركز البحوث العلمية الزراعية بالسويداء، سوريا؛ (3) مركز البحوث العلمية الزراعية بدرعا، سوريا.

### الملخص

الشعبي، صلاح، فايز إسماعيل، خلون الجبر، محمد جمال مندو، منار أبو جيش وسليمى إبراهيم. 2009. تقصي انتشار بعض الفيروسات المرافقة لظاهرة عدم توازن العنب في معرفات العنب/الكرمة في سوريا. مجلة وقاية النبات العربية، 27: 45-36.

تم تقصي انتشار الفيروس المرافق لانفاف أوراق العنب/الكرمة (Grapevine leafroll-associated virus 1, GLRaV-1)، الفيروس المرافق لانفاف أوراق العنب/الكرمة 2 (GLRaV-2)، الفيروس المرافق لانفاف أوراق العنب/الكرمة 3 (GLRaV-3)، الفيروس المرافق لانفاف أوراق العنب/الكرمة 7 (GLRaV-7)، فيروس العنب/الكرمة A (Grapevine A virus, GVA)، فيروس العنب/الكرمة B (Grapevine B virus, GVB)، فيروس التبغ الحلو للتبغ (Tomato ringspot virus, ToRSV) وفيروس التبغ الحلو للبنادورة/الطماطم (Tobacco ringspot virus, TRSV) أو من الدرائق/الخوخ (ToRSV-PYBM) في 708 عينات من أفرع معرفات العنب/الكرمة التي أبدت مظاهر عدم توازن الطعم مع الأصل، ومثلث الكرום/البساتين الخاصة والمجمعات الوراثية في 4 محافظات سوريا: درعا، السويداء، ريف دمشق وحمص في خريف وشتاء أعوام 2003، 2004 و2005. وبلغ متوسط الإصابة بالفيروسات المختبرة باستخدام اختبار إليزا (DAS-ELISA) 28.1%. وبلغت أعلى نسبة انتشار للفيروسات في كروم/البساتين المزارعين الخاصة (61.5%)، بينما كانت 20.5% في المجمعات الوراثية. وكان فيروس GLRaV-1 أكثرها انتشاراً (16.5%)، تلاه في الأهمية فيروس GLRaV-2، GVA، GVB، GLRaV-3، GVA، GVB، وبلغت نسب حدوثها 13.4، 3.8، 1.4، و 0.14%， على التوالي. وكانت نسبة العينات المصابة بأكثر من فيروسات GLRaV-2، GLRaV-3، GVA، GVB، وبلغت نسبة الإصابة الفيروسية في عينات منطقة التطعيم لمعرفات GLRaV-2 المرتبطة الرابعة في عينات الأفرع (47.1%)، بينما كان في المربطة الأولى (61.8%) في العينات المأخوذة من منطقة التطعيم، تلاه في الأهمية الفيروسات GLRaV-3 و GLRaV-1، GVA، GVB، وبلغت نسب حدوثها 30.9 و 45.6%， على التوالي. ولم يسجل الفيروسين GLRaV-7 و GVB في العينات المأخوذة من منطقة التحام الطعم مع الأصل.

**كلمات مفتاحية:** العنب/الكرمة، إليزا، عدم توازن التطعيم، فيروس، سوريا.

### المقدمة

تضخم الطعم فوق منطقة التطعيم مباشرة من أهم الأعراض الناتجة عن هذا المعقد المرضي، فتزداد ثخانة اللحاء، ويكتسب قواماً فلينياً إسفنجياً مجعداً (7). وقد تظهر نقر وأثلام على الأسطوانة الخشبية تأخذ أشكالاً مختلفة يقابلها على اللحاء من الداخل زوائد مماثلة (10). يضعف نمو المعرفات/الجفونات المصابة بتجدد الخشب وعدم التوازن، فتنتفزم، ويتأخر تفتح عيونها في الربيع، وقد تحدث تحورات لونية في أوراقها، وينخفض إنتاجها (21، 30). وقد يفشل التطعيم بصورة جزئية أو كليلة (19). وتعد فيروسات العنب/الكرمة A، B، C و D، GVA، GVC، GVB، GVD، (GRSPaV) grapevine rupestris stem pitting virus من الفيروسات المهمة التي ترافق ظاهرة تجدد الخشب وتشوهه (14، 32، 40). وتسمى الفيروسات المرافقة لانفاف أوراق العنب/الكرمة Grapevine leafroll-

بعد العنب/الكرمة (*Vitis vinifera* L.) من أشجار الفاكهة المهمة المزروعة في سوريا، وقد بلغت المساحة المزروعة به حوالي 51,277 هكتاراً في عام 2004، قدر إنتاجها بحوالي 242,746 طناً (3). وبعد عدم توازن التطعيم (Graft-incompatibility) في العنب/الكرمة من الطواهر المرضية المهمة الواسعة الانتشار في العالم (20، 29، 39). وقد أثبتت الدراسات الحديثة إسهام مجموعة من الفيروسات وأشباهها في إحداث ظاهرة تجدد الخشب (Rugose wood) وعدم توازن التطعيم، وأمكن تمييز أربعة أشكال مختلفة منها: تتفرق ساق روبيستر (Rupestris stem pitting) والقفف الفليني (Corky bark)، وتتلثم ساق كوبر (Kober stem)، وتتلثم ساق النبات الدال لـ 33 (grooving) (11، 16، 30). وبعد

العنب/الكرمة المطعمة. جمعت 708 عينات عشوائية من أقلام العنب/الكرمة التي تم قطعها من طرود بعمر سنة من الجهات الأربع للمعروضات التي أبدت أعراض عدم التوافق خلال خريف وشتاء أعوام 2003، 2004 و 2005 بمعدل أربعة أقلام من كل شجيرة/جفنة، وبطول حوالي 30-40 سم، وبمعدل عينة واحدة من كل شجيرة/جفنة. وقد نوّزعت العينات على النحو التالي: 130 عينة من ثلاثة بساتين تجارية خاصة تقع في محافظة ريف دمشق (39 عينة/شجيرة) ودرعا (91 عينة/شجيرة) وсад فيها الصنفان زيني وحلواني مطعمين على الأصل B41 و 578 عينة من ثلاثة مجمعات وراثية تقع في مراكز بحوث درعا (300 عينة/شجيرة) والسويداء (180 عينة/شجيرة) وحمص (98 عينة/شجيرة)، ومثلث أصنافاً محلية ومدخلة، بمعدل 3 معروضات/جففات من كل صنف، وكان معظمها مطعم على الأصل B. وضعت العينات في أكياس نايلون، وأرفقت كل منها ببطاقة تعريف تضمنت المعلومات التالية: الصنف، المحافظة، المنطقة، تاريخ الجمع، مساحة البستان، اسم المزارع والأعراض المرافقة. ثم حفظت هذه العينات عند درجة حرارة 4°C في المختبر لحين إجراء الاختبار المصلبي.

### الاختبار المصلبي/السيرولوجي

اعتمد اختبار إليزا بالاحتواء المزدوج للفيروس بالأجسام المضادة (DAS-ELISA) (12) باستخدم أمصال متعددة الكلوونات منتجة من قبل شركة Bioreba (سويسرا) على هيئة أطقم كاملة أو في صورة أجسام مضادة مع الشواهد السلبية والموجبة في تقصي 8 فيروسات، هي: الفيروسات المرافقة لاتفاق أوراق العنبا/الكرمة (1، 3 و 7) (GLRaVs-1, 3 & 7) التابعة للجنس *Ampelovirus*، وعائلة *Closteroviridae*، وفيروس المرافق لاتفاق أوراق العنبا/الكرمة (GLRaV-2) الذي يتبع الجنس *Closterovirus*، وعائلة *Closteroviridae*، وفيروس العنبا/الكرمة أ (GVA) وفيروس العنبا/الكرمة ب (GVB) اللذان يتبعان الجنس *Vitivirus*، وعائلة *Flexiviridae*، وفيروس التبقع الحلي للتبغ (TRSV) وفيروس التبقع الحلي للبنادرة/الطماطم بسلالته المعزولة من التفاح والعنبا/ الكرمة المسماة لمرض العرق الأصفر (ToRSV-ch) أو بسلالته المعزولة من الدراق والمسماة لموز لاييك (ToRSV-PYBM) Peach yellow bud mosaic، البرعم الأصفر (ToRSV-PYBM) كل على حدة، وها يتبعان الجنس *Nepovirus* وعائلة *Comoviridae*. قيست شدة التفاعل باستعمال فارئ أطباق إليزا ماركة MS Labsystems multiskan (صنع فنلندا) عند موجة طولها 405 نانوميتر. اعتبرت العينة مصابة بالفيروس إذا تجاوزت متوسط

(GLRaVs) associated viruses) الموجودة في الأنسجة الغربالية/اللحائية بدور مهم في إحداث مرض القلف اللبناني (21، 35)، وهي تنتشر في أغلب مناطق زراعة العنبا/الكرمة في العالم (13). وقد وجدت هذه الفيروسات مترافقه مع ظاهرة عدم توافق الطعام مع الأصل في إيطاليا وفرنسا (7، 27). وتسببت فيروسات أخرى، مثل Tomato ringspot Tobaco (ToRSV) nepovirus (TRSV) ringspot nepovirus (30). وقد أشير إلى ظاهرة عدم توافق العنبا/الكرمة لأول مرة في سوريا عام 1991، وتم ربطها بالفيروسات (1). كما بينت نتائج تقويم الحالة الصحية لجففات العنبا/الكرمة في سوريا لاحقاً (1995-1997) (1997) (1997-1995) إصابتها بالفيروسات GLRaV-3، GLRaV-1، GFLV (Grapevine fanleaf virus) (2)، ثم إصابتها بالفيروسات (GFkV) (Grapevine fleck virus)، GLRaV-2، GVA و GRSPaV (34). وقد هدفت الدراسة الحالية إلى تقصي انتشار بعض الفيروسات المرافقة لظاهرة عدم توافق الطعام مع الأصل في معروضات العنبا/الكرمة في سوريا وتحديد مسبباتها.

### مواد البحث وطرائقه

#### المسح الحقي وجمع العينات

تم تقصي انتشار ظاهرة عدم توافق أصناف العنبا/الكرمة (الطعم) مع الأصل B41 في شجيرات/جففات ثلاثة مجمعات وراثية زرعت بأكثر من مئة صنف، وهي تمثل معظم الأصناف المحلية والمدخلة إلى سوريا، وتقع في ثلاث محافظات سوريا، هي: درعا (313 شجيرة)، والسويداء (103 شجيرات)، وحمص (244 شجيرة)، بمعدل 2-3 شجيرات مطعمه من كل صنف على الأصل نفسه. كما تم تقصي انتشار الظاهرة نفسها في معروضات العنبا/الكرمة المطعمة على الأصل B41 في بساتين/كروم المزارعين الخاصة المختارة عشوائياً والممثلة لمناطق زراعة العنبا/الكرمة في المحافظات الرئيسية لإنتاج العنبا في سوريا، وهي: درعا (11 بستان/كرماً)، وريف دمشق (14 بستان/كرماً)، والسويداء (4 بستان/كروم)، وحمص (16 بستان/كرماً)، وبلغ عدد معروضات العنبا/الكرمة التي شملها المسح 2415، 2662، 1125 و 2228، في المحافظات الأربع على التوالي. وقدرت نسب الإصابة بظاهرة عدم التوافق (تضخم الطعام أعلى منطقة التطعيم) في كل بستان/كرم على حدة. كما دونت المظاهر المرضية المرافقة لهذه الظاهرة على شجيرات

و عند وتحت منطقة النقاء الأصل بالطعم، كل على حدة، بعد قطع منطقة التطعيم طولياً بواسطة منشار آلي (204 عينات بمعدل 3 عينات من كل معرشة مثبت كل واحدة منها جزءاً مستقلاً) مصلياً بواسطة اختبار إليزا بالمواد والطرائق نفسها المعتمد بها سابقاً في مختبر الأمراض الفيروسية التابع لإدارة بحوث وقاية النبات في الهيئة العامة للبحوث العلمية الزراعية بدوما خلال عام 2005.

النتائج والمناقشة

المسح الحقلی

تكرر مشاهدة مظاهر عدم التوافق (تضخم الطعم فوق منطقة التطعيم) ما بين الطعم والأصل في معرشات العنب/الكرمة المطعمة على الأصل 41 B من خلال المسح الحقلـي الذي نفذ خلال خريف وشتاء أعوام 2003، 2004 و 2005، وهي تعدًّ احدى مظاهر تجذر الخشب (شكل 1-A). وقد تراوحت نسب الإصابة الظاهرة لمعرشات العنب/الكرمة في الكروم/البساتين الخاصة التي خضعت للدراسة ما بين 78% و 87%، أما في المجمعـات الوراثية فكانت ما بين 85% و 91% (جدول 1). ولم تسجل ظاهرة عدم التوافق في كروم المزارعين الخاصة التي تفترش فيها نباتات العنب/الكرمة الأرض في محافظتي درعا والسويداء ومحص أو في الكثير من المعرشات في محافظة لحـرة الفيلوكسيرا، وهي ناتجة من تجذير الأصناف نفسها. مقاومة لحـرة الفيلوكسيرا، وهي ناتجة من تجذير الأصناف نفسها. وتبلغ نسب شجيرات العنب/الكرمة غير المطعمـة على أصول أمريـكـية إلى مجموع الشجيرات المزرـوعـة في محافظـي درـعا والسويدـاء 54.9% وأكـثر من 85%، على التـوالـي. ويعزـى عـزـوفـ الكـثيرـ من مـزارـعيـ العـنبـ/ـالـكـرـمـةـ عنـ التطـعـيمـ علىـ الأـصـوـلـ الأمريكيةـ فيـ محافظـي درـعاـ والـسوـيدـاءـ إلىـ نـشوـءـ ظـاهـرـةـ عدمـ التـوـافـقـ وماـ يـتـسـبـبـ عـنـهـاـ منـ ضـعـفـ فيـ النـموـ وـلاـ سـيـماـ فيـ نـموـ الأـصـلـ 41 Bـ الشـائـعـ الـاسـتـخدـامـ،ـ وإـلـىـ الإـعـقـادـ بـخـلـوـ شـجـيـراتـ العـنبـ/ـالـكـرـمـةـ المـزـرـوعـةـ فيـ كـلـتـاـ المحـافـظـيـنـ منـ إـصـابـاتـ حـشـرةـ الفـيلـوكـسـيراـ،ـ وإـلـىـ قـوـةـ نـموـ شـجـيـراتـ العـنبـ/ـالـكـرـمـةـ النـاتـجـةـ منـ تـجـذـيرـ أـقـلـامـ الأـصـنـافـ الـمـحلـيةـ.ـ وـقـدـ عـادـ حـديثـاـ مـزاـرـعـوـ العـنبـ/ـالـكـرـمـةـ وـلاـ سـيـماـ فيـ مـحـافـظـةـ درـعاـ إـلـىـ أـسـلـوبـ التـطـعـيمـ عـلـىـ أـصـوـلـ مـقاـوـمـةـ معـ اـكتـشـافـ بـؤـرـ حـدـيدـةـ لـحـشـرـةـ الـفـيلـوكـسـيراـ.

وكان الطعم فوق منطقة الالتحام متضخماً في كل الحالات، ولا تتناسب ثخانته مع ثخانة الأصل. وترافق الأعراض السابقة مع زيادة ثخانة لحاء الطعم فوق منطقة الالتحام وتتحولها إلى المظاهر الفلبيني أو الإسفنجي المجدد. وظهرت على الأسطوانة الخشبية للطعم

قيم امتصاصها للضوء ثلاثة أضعاف متوسط قيم امتصاص عينات الشواهد السليمة الخاصة بكل طبق على حدة، وفقاً لتعليمات الشركة المصنعة للأمصال الكاشفة. نفذ الاختبار المصلي/السيروлогي للعينات التي جمعت من محافظات درعا، وريف دمشق، وحمص، والسويداء في مختبرى الأمراض الفيروسية بدمشق والسويداء التابعين للهيئة العامة للبحوث العلمية الزراعية خلال أعوام 2003، 2004 و 2005 باستخدام المواد والطريقة نفسها. تم كشط 1 غ من الأنسجة اللاحانية لأفرع كل عينة على حدة بواسطة سكين حادة بعد نزع القلف. وتم سحق هذه الأنسجة بواسطة جهاز طحن خاص بعد وضع العينة في كيس بلاستيك يحتوي على محلول الاستخلاص. أضيفت الأجسام المضادة المتعددة الكلوනات والأجسام المضادة المرتبطة بالأنزيم (AP) الخاصة بكل فيروس وفقاً لتعليمات الشركة المصنعة بعد تخفيفها بنسبة 1 : 1000 إلى أطباق إليزا وفقاً للتسلسل المعمول به باختبار DAS-ELISA (12). أخذت القراءات بعد مرور 30 دقيقة على إضافة المادة المظيرة P-Nitrophenyl phosphate التي يفكها أنزيم الفوسفاتاز القلوي بمعدل 1 مغ/1 مل محلول أساس متوازن (Substrate buffer) وباستخدام قارئ إليزا.

**تقصي انتشار بعض الفيروسات في أفرع معرشات العنبر/الكرمة وفي منطقة التطعيم**

جمع العينات - تم تقصي انتشار سته فيروسات، هي: GLRaV-1، GLRaV-2، GLRaV-3، GLRaV-7، GVA و GVB في 68 معرشة عنب/كرمة من الصنفين زيفي وحلواني ومطعمة على الأصل B41 أبدت جميعها أعراض عدم التوافق (تضخم الطعم فوق منطقة التطعيم)، وكانت موزعة في المحافظات الأربع في كروم/بساتين المزارعين الخاصة. تم جمع عينات الأقلام من طرود بعمر سنة تم قطعها من الجهات الأربع للمعرشات نفسها لاختبارها بواسطة إليزا. ثم قطعت منطقة التطعيم عند هذه المعرشات فوق منطقة التقاء الأصل بالطعم وتحتها بمسافة 30-20 سم بواسطة منشار آلي، ثم قصت هذه القطع في المختبر طولياً للاحظة الأعراض الداخلية ولاسيما في منطقة التقاء الأصل بالطعم. تمأخذ عينات الاختبار من ثلاثة أجزاء في مقطع كل معرشة على حدة، وهي: 1) اللحاء والخشب في الطعم فوق منطقة الإنتمام. 2) اللحاء والخشب عند نقطة التحام الطعم مع الأصل. 3) اللحاء والخشب في الأصل تحت منطقة الإنتمام، بمعدل عينة واحدة ممثلة لكل جزء.

الاختبار المصلي/السيروlogى - اختبرت عينات الأفرع (68 عينة/معرشة) وتلك المأخوذة من اللحاء والخشب الملافق له أعلى

عينات المجمع الوراثي في محافظة حمص (37.8%) مقارنة بالمجموعات الوراثية الأخرى (جدول 2).

بيّنت نتائج اختبار 708 عينات جمعت من المعرشات/الجفنات التي أبدت أعراض ظاهرة عدم التوافق (تضخم الطعام أعلى منطقة التطعيم) إصابتها بالفيروس المرافق لالتفاف أوراق العنب/الكرمة 1 (GLRaV-1)، وبالفيروس المرافق لالتفاف أوراق العنب/الكرمة 3 (GLRaV-3)، وفيروس العنب/الكرمة A (GVA)، والفيروس المرافق لالتفاف أوراق العنب/الكرمة 2 (GLRaV-2)، وبلغت نسب حدوثها بصورة منفردة 10.7 (76 عينة)، 8.1 (57 عينة)، 2.4 (17 عينة)، و0.28% (2 عينة)، على التوالي. بينما بلغ المتوسط العام للإصابات الفيروسية المنفردة 21.5% (152 عينة). وقد أسمى فيروسين (43 عينة) أو ثلاثة (4 عينات) في الإصابات المختلطة لبعض العينات (47 عينة)، وبلغت نسبتها إلى مجموع العينات الكلية المختبرة 6.64%， بينما بلغ المتوسط العام للإصابات الفيروسية المنفردة والمختلطة في العينات المختبرة 28.1% (199 عينة). ولم يسجل الفيروس المرافق لالتفاف أوراق العنب/الكرمة 7 (GLRaV-7)، وفيروس التبغ الحلقي التابع (TRSV)، وفيروس التبغ الحلقي للبنادورة/الطماطم - بسلالاته ToRSV-PYBM وToRSV-ch B في العينات المختبرة باستثناء عينة واحدة كان فيها الفيروس الأخير مترافقاً مع فيروسين GLRaV-1 و GLRaV-2، وهذا يؤكّد نتائج البحث التي جرت في الدول المجاورة حول ندرة انتشار هذه الفيروسات (4، 5، 6، 28).

وكان الفيروس المرافق لالتفاف أوراق العنب/الكرمة 1 (GLRaV-1) الأكثر انتشاراً في معرشات العنب/الكرمة المصابة بظاهرة عدم توافق التطعيم في سوريا، وبلغت نسبة ترددده في العينات المصابة 59.4%， تلاه في الأهمية الفيروس المرافق لالتفاف أوراق العنب/الكرمة 3 (GLRaV-3)، وفيروس العنب/الكرمة A (GVA)، والفيروس المرافق لالتفاف أوراق العنب/الكرمة 2 (GVB)، وفيروس العنب/الكرمة B (GLRaV-2)، وبلغت نسب تردددها 47.7، 13.6، 5.03، و0.5%， على التوالي. ويعزى الانتشار الواسع للفيروسات GLRaV-1، GLRaV-3، GVA، على الكرمة في سوريا إلى انتشار نوائلها الطبيعية ولا سيما بعض الحشرات القشرية والبق الدقيقي التابعة لفصيلة Coccidae.

عند بعض المعرشات المصابة بشدة نقر و/أو أثلام اكتسبت أشكالاً مختلفة قابلها على اللحاء من الداخل زوايد مماثلة بدت واضحة بعد قشر لحاء الطعام (شكل 1-B). وظهرت أنسجة خشبية متماوئة في منطقة التحام الطعام مع الأصل في كثير من الحالات واكتسبت أبعاداً وألواناً مختلفة (شكل 1-C). وكان نمو الجفنات المصابة ضعيفاً في بعض الحالات، وقد أصابها التفزم والتدهور والموت التدريجي أو المفاجيء (شكل 1-D). ولم تكن ظاهرة عدم التوافق مترافقاً في أحيان أخرى بضعف في نمو معرشات العنب أو تدهورها. ولم تظهر أعراض مميزة على الأوراق باستثناء التفاف الأوراق تجاه الأسفل عند بعضها، واحمرار الأوراق أو اصفرارها تبعاً للصنف، وصغر حجم العناقيد، وقلة عدد عنابتها عند بعضها الآخر، بينما كان إنتاج المعرشات المصابة بظاهرة عدم التوافق طبيعياً في أحيان أخرى.

وقد أحدثت ظاهرة عدم التوافق تحريراً في بنية الأنسجة النباتية وشكلها في مكان التطعيم (18)، الأمر الذي سبب تدهوراً شديداً في نمو معرشات/شجيرات العنب/الكرمة وانخفاض إنتاجها وفقاً لبعض الدراسات المرجعية (14، 22، 38، 40). وقد رصدت ظاهرة عدم توافق العنب/الكرمة الأوروبيّة مع الأصول الأمريكية في مناطق مختلفة في العالم (17، 23، 33)، وكان تداول مادة الإيكثار النباتية المصابة سبباً في انتشار الظاهرة على مساحات واسعة (31)، بينما ارتبط انتشارها المحلي بنشاط بعض الحشرات القشرية والبق الدقيقي (37، 36، 29).

#### الاختبارات المصلية/السيرونوجية

سجل أعلى انتشار للإصابات الفيروسية في هذا البحث في العينات المأخوذة من بساتين/كروم المزارعين الخاصة (61.5%)، بينما كانت نسبة الإصابة في العينات المأخوذة من المجموعات الوراثية أقل (20.5%). ويعزى ارتفاع نسب الإصابات الفيروسية في بساتين/كروم المزارعين الخاصة بالمقارنة مع المجموعات الوراثية ربما إلى ارتفاع نسب إصابة أمهات الأصناف والأصول في المشاكل المنتجة وإلى زيادة نشاط الحشرات الناقلة في البساتين الخاصة مقارنة بالمجموعات الوراثية التي تخضع لمكافحة دورية. وكانت نسبة انتشار الإصابات الفيروسية على العنب/الكرمة أعلىها في محافظة درعا، وبلغت 70.3% في حقول المزارعين، و15.3% في المجمع الوراثي، بينما بلغت نسبة الإصابة في حقول المزارعين في محافظة ريف دمشق 41.0%. وسجلت أعلى قيمة للإصابات الفيروسية في

**جدول 1.** انتشار ظاهرة عدم توافق التطعيم في معرشات العنب/الكرمة في بعض المحافظات السورية.  
**Table 1.** Distribution of graft-incompatibility phenomenon on grapevines in some Syrian governorates

النسبة المئوية لاصابة معرشات العنب/الكرمة بظاهرة عدم توافق التطعيم Infection rate of grapevines with graft-incompatibility phenomenon						
كروم/بساتين المزارعين الخاصة Private commercial vineyards			مجمعات الأصناف Varietal collections			المحافظة Governorate
النسبة المئوية Visual infection rate (%)	عدد المعرشات No. of vines showing graft-incompatibility	عدد المعرشات No. of vines surveyed	النسبة المئوية Visual infection rate (%)	عدد المعرشات No. of vines showing graft-incompatibility	عدد المعرشات No. of vines surveyed	
86.0	2077	2415	89.1	279	313	درعا
87.0	979	1125	91.3	94	103	السويداء
78.0	2076	2662	-	-	-	ريف دمشق
84.0	1872	2228	85.3	208	244	Damascus countryside Homs

**جدول 2.** توزيع الإصابة الفيروسية وفقاً للمحافظات السورية المدروسة.  
**Table 2.** Distribution of viral infection in the Syrian governorates surveyed

عدد المعرشات/العينات Number of vines/samples						
المجمعات الوراثية Germplasm collections			بساتين المزارعين الخاصة Private vineyards			المحافظة Governorate
نسبة الإصابة Infection %	المصابة Infected	المختبرة Tested	نسبة الإصابة Infection %	المصابة Infected	المختبرة Tested	
15.3	46	300	70.3	64	91	درعا
-	-	-	41.0	16	39	ريف دمشق
20.0	36	180	-	-	-	السويداء
37.8	37	98	-	-	-	حمص
20.6	119	578	61.5	80	130	الكلي Total

العنب/الكرمة التي أبدت مظاهر عدم التوافق (تضخم الطعام على منطقة التطعيم) وإلى اختلاف مناطق جمع العينات.

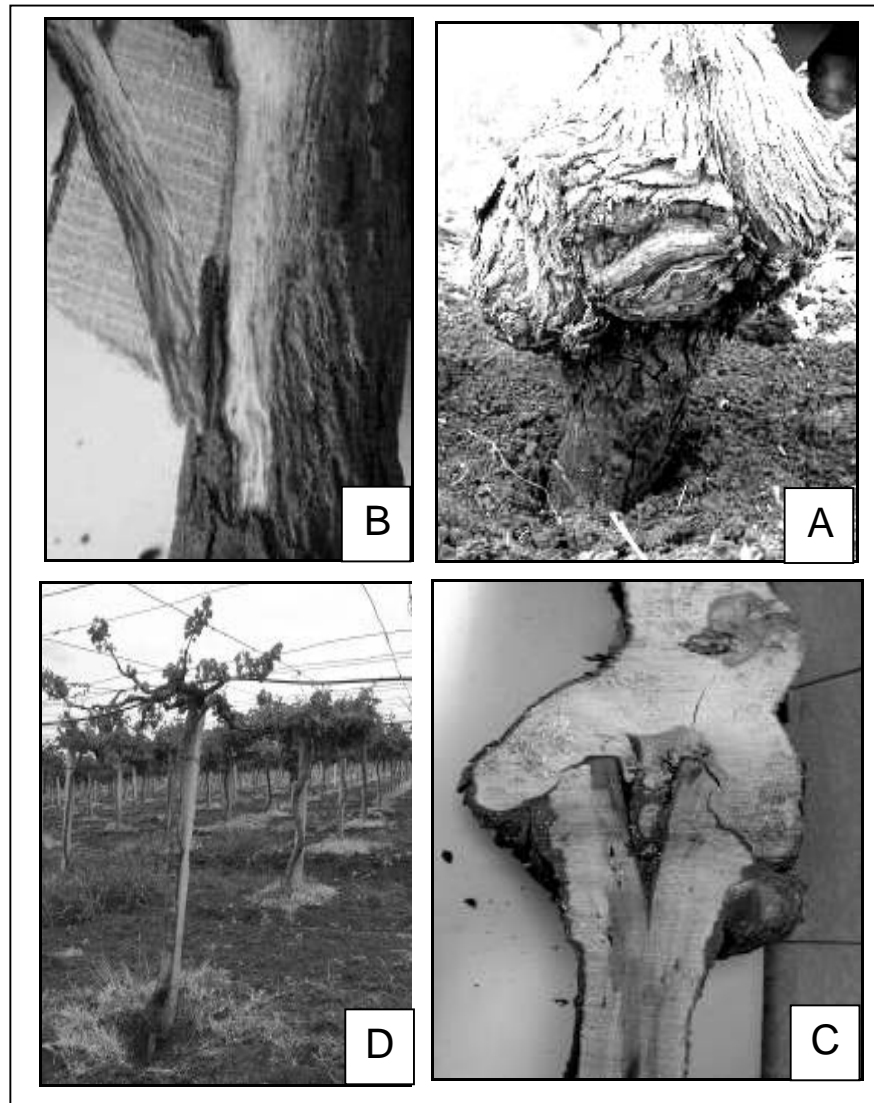
تفصي انتشار بعض الفيروسات في أفرع معرشات العنب/الكرمة وفي منطقة التطعيم

بنيت نتائج تفصي الفيروسات المختبرة في أفرع 68 معرشة/Shigure عنب/كرمة أبدت أعراض عدم التوافق إصابة معظمها (70.6%)، 48% (70.6%) معرشة) بفيروس واحد أو أكثر، وتتوافق هذه النتائج إلى حد ما مع نتائج بحوث سابقة جرت في سوريا لتقدير الحالة الصحية لأصناف العنب/الكرمة (34)، ولمعرشات العنب/الكرمة في منطقة Apulia الإيطالية (15). وبلغت نسبة المعرشات المصابة في هذه التجربة بفيروس واحد (44.1%)، 30 معرشة)، واحتل انتشار الفيروس

وكان الفيروسات GVA، GLRaV-1، GLRaV-3 قد سجلت انتشاراً واسعاً على العنب/الكرمة في دول حوض البحر المتوسط (14)، ولا سيما على المعرشات المصابة بمتلازمة الخشب Apulia. وبلغت نسب حدوث هذه الفيروسات في منطقة Apulia الإيطالية 11.8، 67.3، 55.7%، على التوالي (15). وقد أشارت نتائج دراسة سابقة أجريت في سوريا عام 2005 إلى أهمية الفيروسات السابقة، واحتل فيها الفيروس GVA المرتبة الأولى في الانتشار لا سيما في كروم/بساتين المزارعين الخاصة ومجمعات الأصناف، تلاه في الأهمية الفيروسات GLRaV-1، GLRaV-3، GLRaV-2 (34). ويعزى تباين نسب حدوث الفيروسات المسجلة في كلتا الدراستين إلى اقتصر البحث الحالي على معرشات

المصابة بأكثر من فيروس 26.5% (18 معرضاً). ولم يسجل الفيروسين GLRaV-7 و GVB في العينات المختبرة، كما لم يسجل على بعض المعرشات (29.4%， 20 معرضاً) أي من الفيروسات المختبرة.

GLRaV-1 المرتبة الأولى، وبلغت نسبة حدوثه (إصابة منفردة ومختلطة) 50.0% (24 معرضاً)، تلاه في الأهمية الفيروسات GLRaV-3، GVA، GLRaV-2، وبلغت نسب حدوثها (إصابة منفردة ومختلطة) 20.6% (10 معرضاً)، 19.1% (9 معرضاً)، و 11.8% (6 معرضاً)، على التوالي، بينما بلغت نسبة العينات



**شكل 1.** أعراض الإصابة بظاهرة عدم توازن الطعم على العنب/الكرمة: ظاهرة تضخم الطعم أعلى منطقة التطعيم على معرشات/جفنت العنب/الكرمة المطعم على الأصل B 41 (A); ندب وأثلام على الأسطوانة الخشبية واللحاء (B); أنسجة خشبية متماوته في منطقة التحام الطعم مع الأصل (C); ضعف نمو ونقرم معرشة/جفنة عنب/كرمة مصابة بظاهرة عدم التوازن (D).

**Figure 1.** Symptoms of graft-incompatibility between scion and rootstock in grapevine: Swelling symptoms above scion-rootstock union area of grapevines grafted onto 41 B rootstock (A); Pits and grooves on wood cylinder and phloem (B); Necrotic woody tissues at scion-rootstock union area (C); Growth weakness and dwarfing of graft-incompatibility infected vine (D).

ولم يسجل الفيروسين GLRaV-7 و GVB في أنسجة المعرضات المختبرة فوق وعند وتحت نقطة التحام الطعام مع الأصل (جدول 3). وكانت نتائج بحوث سابقة قد ربطت وجود الفيروسات GLRaV-1، GLRaV-2، GLRaV-3، GVA، GVB في معرضات العنب/الكرمة بمرض تجعد الخشب الفليني الذي اتسم بزيادة ثخانة قلف الطعام (الأصناف) أعلى منطقة الالتحام مع الأصل (7). واعتبر الفيروس GVA مفتاحاً لتطور تشوهات الخشب، ولا سيما عندما يوجد مع الفيروسين GLRaV-1 و GLRaV-3 (15)، علماً أن الفيروسات الثلاثة السابقة قد تم تسجيلها في مناطق أعلى وأسفل وعند نقطة التحام الطعام مع الأصل في هذا البحث، واحتلت أهمية بالغة في المعاقد المرضي المسبب لظاهرة عدم التوافق. ولم يعثر على الفيروس GVB في الأجزاء المختلفة لمعرضات العنب/الكرمة المختبرة في هذا البحث. وكانت نتائج بحوث أخرى قد أكدت مسؤولية فيروس GVB عن حدوث مرض القلف الفليني (24، 31)، بينما لم يعثر على الفيروس نفسه بصورة دائمة في معرضات العنب/الكرمة المصابة بتجعد الخشب الفليني (7). وتشير نتائج هذا البحث إلى تباين نسب وجود بعض الفيروسات المختبرة في الأجزاء المختلفة لمعرضات العنب/الكرمة، ولا سيما الفيروس GLRaV-2 الذي احتل المرتبة الرابعة في الانتشار (11.8%) عند اختبار أقلام من الأفرع بعمر سنة، بينما احتل الفيروس ذاته المرتبة الأولى (61.8%) عند اختبار العينات المأخوذة من الأجزاء الواقعة أسفل وأعلى منطقة التطعيم للمعرضات نفسها.

أشارت النتائج إلى خلو بعض المعرضات التي أبدت ظاهرة عدم التوافق من الفيروسات المختبرة (بلغ عدد المعرضات السليمة عند اختبار الأفرع أو أجزاء منطقة التطعيم 20 و 19 معرشة/جفنة، على التوالي)، وإلى احتمال إصابتها بفيروسات أخرى لم يكن متاحاً تشخيصها بالتقانات المستخدمة في هذا البحث. وأوضحت نتائج تقني مسبيات مرض تجعد الخشب في إيطاليا والبرتغال باستخدام التقانة المتسلسل للبوليمراز وجود فيروس GRSPaV في 74 و 44% من الحالات المختبرة، على التوالي (41، 4). وأكدت نتائج بحوث حديثة جرت على معرضات العنب/الكرمة السورية باستخدام التقانة نفسها (RT-PCR) وجود هذا الفيروس (34). ويشير ارتفاع نسب الإصابات الفيروسية على معرضات العنب/الكرمة بصورة عامة إلى ضرورة إتباع إجراءات السلامة النباتية من أجل إنتاج مادة نباتية سليمة، علماً أن الفيروسات المسببة لظاهرة تجعد الخشب ومنها ظاهرة عدم توافق الطعام مع الأصل تتصدر قائمة الفيروسات المهمة المطلوب استبعادها من المادة الوراثية المعدة للإكثار والتداول وفقاً لمنظمة وقاية النبات الأوروبية EPPO (20).

بيّنت نتائج توزع الفيروسات GLRaV-1، GLRaV-2، GLRaV-3، GVA، GLRaV-7، GVB في منطقة التحام الطعام مع الأصل الأهمية البالغة التي يلعبها فيروس GLRaV-2 في احداث ظاهرة عدم التوافق، حيث كانت نسبة الإصابة به في الأجزاء الثلاثة: فوق وعند وتحت نقطة التطعيم أعلىها، بلغت 36.8%، 32.4% و 23.5%، على التوالي، بينما بلغ متوسط حدوثه في منطقة التطعيم عند معرضات العنب/الكرمة المختبرة 61.8%. وقد عزت بحوث سابقة جرت في إيطاليا وفرنسا حدوث ظاهرة عدم التوافق في معرضات العنب/الكرمة إلى الإصابة بفيروس GLRaV-2 (25، 27). كما أكدت بحوث أخرى جرت لاحقاً مسؤولية عزلات من فيروس GLRaV-2 عن التحورات والأضرار التي لحقت بمنطقة التطعيم على ساق العنب/الكرمة Red Globe في كاليفورنيا، وعلى تراكيب مختلفة ما بين الأصناف المتدالة والأصول في نيوزيلندا والأرجنتين (39، 26).

وكانت الطرائق المصالية/السيروlogية المستخدمة في تشخيص الفيروس المذكور أقل حساسية من التقانات الجزيئية ولا سيما بالمقارنة مع التفاعل المتسلسل للبوليمراز مع النسخ العكسي (RT-PCR) (9). واحتلت الفيروسات GLRaV-1، GLRaV-3، GVA المرتبة الثانية والثالثة والرابعة في الأهمية في هذا البحث، وبلغت نسب حدوثها 45.6%， 30.9% و 5.9%， على التوالي. وكان 45.6% من المعرضات التي أبدت مظاهر عدم التوافق قد سجلت فيها إصابات فيروسية في الأصل تحت منطقة التطعيم، وبلغت نسبة المعرضات المصابة طعومها أعلى منطقة التطعيم 42.7%， بينما بلغت نسبة المعرضات التي سجلت فيها إصابات فيروسية في منطقة التحام الطعام مع الأصل 33.8%. وتشير زيادة نسبة إصابة الأصول في المعرضات المطعمة إلى احتمال كون أمehات الأصول مصادر لهذه الفيروسات ولا سيما الأصل 41 B الواسع الاستخدام في المشاتل العامة والخاصة، بينما يعزى انخفاض نسبة الإصابة الفيروسية في منطقة التحام الطعام إلى تماوت الأنسجة في هذا الجزء في معظم الحالات. وقد بلغ عدد المعرضات المصابة بفيروس واحد منفرد 17 (%25.0)، بينما بلغ عدد المعرضات المصابة بأكثر من فيروس (إصابات مختلطة) 32 (%47.1) معرشة/جفنة، وتتوافق هذه النتائج إلى حد ما مع نتائج بحوث سابقة أشارت إلى أهمية حدوث الإصابات المختلطة في أصناف العنب/الكرمة السورية (34). ويعزى التباين في ثمانية الطعام أعلى منطقة التطعيم مباشرة إلى نوع الفيروس الموجود أو إلى تركيبة الفيروسات الأخرى المترافق معه، علماً أن الأصناف المعتمدة (حلواني وزيني) والأصل المستخدم (B 41) ثابتة.

جدول 3. توزع الفيروسات المترافق مع ظاهرة عدم توافق التحام الطعم مع الأصل خلال عام 2005 في 68 معروفة/جفنة مختبرة.

**Table 3.** Distribution of viruses associated with graft-incompatibility at the scion-rootstock union area during 2005 in 68 vines tested.

المجموع الكلي للمعشرات المصابة، (وحوث الإصابة %) Total no. of infected vines and incidence of infection (%)	عدد العينات/المعشرات/الجففات المصابة بالفيروسات (ونسب حدوثها %) No. of infected samples with viruses and their incidence				منطقة أخذ العينة Plant position of collected sample
	GVA	GLRaV-3	GLRaV-2	GLRaV-1	
(42.7) 29	(0) 0	(23.5) 16	(36.8) 25	(11.8) 8	من الطعم فوق منطقة الالتحام From scion above the graft union
(33.8) 23	(0) 0	(23.5) 16	(32.4) 22	(22.1) 15	من منطقة الالتحام At graft union
(45.6) 31	(5.9) 4	(13.2) 9	(23.5) 16	(16.2) 11	من الأصل تحت منطقة الالتحام From rootstock below the graft union
(72.1) 49	(5.9) 4	(45.6) 31	(61.8) 42	(30.9) 21	من كل الأجزاء From all sites

\* All samples were negative to GVB and GLRaV-7

\* جميع العينات لم تتفاعل مع GVB و GLRaV-7

## Abstract

**Al-Chaabi, S., F. Ismaeil, K. Al-Jabor, M.J. Mando, M. Abou Jaish and S. Ibrahim.** 2009. Survey of Some Viruses Associated with Graft-incompatibility Phenomenon on Grapevine in Syria. *Arab Journal of Plant Protection*, 27: 36-45.

A survey for *Grapevine leafroll-associated virus 1 (GLRaV-1)*, *Grapevine leafroll-associated virus 2 (GLRaV-2)*, *Grapevine leafroll-associated virus 3 (GLRaV-3)*, *Grapevine leafroll-associated virus 7 (GLRaV-7)*, *Grapevine A virus (GVA)*, *Grapevine B virus (GVB)*, *Tobacco ringspot virus (TRSV)* and two strains of *Tomato ringspot virus (ToRSV-ch and ToRSV-PYBM)* associated with graft-incompatibility phenomenon in 708 grapevine one old year shoot samples representing private commercial vineyards and germplasm varietal collections distributed in 4 governorates: Dar'a, Al-Sweida, Damascus Countryside and Homs was conducted during the fall and winter of 2003, 2004 and 2005, by using DAS-ELISA. 28.11% of samples were found to be infected with viruses. The highest incidence of viral infection was recorded in private vines (61.5%), whereas it was 20.5% in varietal collections. GLRaV-1 was the most common (16.5%), followed by GLRaV-3, GVA, GLRaV-2 and GVB, with incidence of 13.4, 3.8, 1.4 and 0.14%, respectively, and 6.64% of tested samples were infected with more than one virus (mixed infections). No infections with GLRaV-7, TRSV and by two strains of ToRSV were recorded. The viral incidence of tested grapevine samples collected from graft union of private commercial vineyards exhibiting graft-incompatibility was 72.1%, whereas 47.1% of tested samples had mixed infections. The incidence of some viruses varied among different parts of the vine; GLRaV-2 incidence was lowest (11.8%) in grapevine shoot samples, while it was highest in samples collected from the graft union (61.8%), followed by GLRaV-3, GLRaV-1 and GVA, with 45.6, 30.9 and 5.9% incidence, respectively. GLRaV-7 and GVB were not detected in the graft union of tested samples.

**Key words:** ELISA, graft-incompatibility, grapevine, Syria, virus.

**Corresponding author:** Salah Al-Chaabi, General Commission for Agricultural Scientific Research, Damascus, Douma P. O. Box 113, Syria, Email: gcsarshaabi@mail.sy

## References

- جدول 79، مديرية الإحصاء والتخطيط، قسم الإحصاء، وزارة الزراعة والإصلاح الزراعي، الجمهورية العربية السورية: .294
4. Ahmed, H.M.H., M. Digiero and G.P. Martelli. 2004. Virus and virus diseases of grapevine in Egypt. EPPO Bulletin, 34: 395-398.
  5. Alkowni, R., M. Digiero and V. Savino. 1998. Virus and virus diseases of grapevine in Palestine. EPPO Bulletin, 28: 189-195.
  6. Al-Tamimi, N., M. Digiero and V. Savino. 1998. virus of grapevine in Jordan, Phytopathologia Mediterranea, 37: 122-126.

## المراجع

1. داود، رامز، ماجد الأحمد، بسام بياعة وخالد مكوك. 1991. ظاهرة عدم التوافق بين الطعم والأصل، التي قد تكون فيروسية المنشأ، مشكلة خطيرة تهدد زراعة العنب في سوريا. مجلة وقاية النبات العربية، 9 (1): 66-67.
2. الشعبي، صلاح، عبد الرحمن درويش، فايز إسماعيل، جمال مندو، سناء نعمان، لينا مطرود، أيمن الصالح وفراس الأسود. 2000. تقويم الحالة الصحية لأنواع التوت والكرمة في سوريا. مجلة وقاية النبات العربية، 18: 17-23.
3. المجموعة الإحصائية الزراعية السنوية. 2004. مساحة وإنتاج وعدد أشجار العنب/الكرمة حسب المحافظات لعام 2004 مع تطورها على مستوى القطر من 1995-2004.

- of graft-incompatibility in grapevine). Bulletin OIV, 69: 757-780.
18. **D'Khili, B., N. Michaux-Ferriere and S. Grenan.** 1995. Etudes histochimique de l'incompatibilite au microgreffage et greffage de boutures herbacees chez la vigne. (Histochemical study of micrografting and green grafting incompatibility of grapevine). *Vitis*, 34: 135-140.
  19. **Durquety, P.M., C. Ruchaud, J.P. Gazeau and J. Fallot.** 1973. Le clone et ses réactions au greffage.2. Nouvelles recherches sur l'incompatibilité clonale Abouriou greffé sur 5BB. Autres cas chez la vigne. *Progres Agricole et. Viticole*, 94: 420-427.
  20. **EPPO Standards.** 1998. Pathogen-tested material of grapevine varieties and rootstocks, Certification Schemes PM 4/8 (1) English, PM 4/1 -26: 14-22.
  21. **Frison, E.A. and R. Ikin (eds).** 1991. FAO/IBPGR Technical Guidelines for the Safe Movement of Grapevine Germplasm. Food and Agriculture Organization of the United Nations, Rome /International Board for Plant Genetic Resources, Rome: 54.
  22. **Garau, R., M. Cugusi, M. Dore and U. Prota.** 1985. Investigation on yield of "Monica" and "Italia" vines affected by legno riccio (stem pitting). *Phytopathologia Mediterranea*, 24: 64-67.
  23. **Garau, R., V.A. Prota, R. Piredda, D. Boscia and U. Prota.** 1994. On the possible relationship between Kober stem grooving and *grapevine virus A*. *Vitis*, 33: 161-163.
  24. **Garau, R., V.A. Prota, R. Piredda and U. Prota.** 1993. A stunting factor in *Vitis vinifera* transmitted by grafting to kober 5BB. Pages 74-75. In: Extended abstracts 11<sup>th</sup> meeting ICVG. P. Gugerli (ed.). Montreux, Switzerland, 6-9 September 1993. Federal Agricultural Research Station of Changins, CH-1260 Nyon, Switzerland.
  25. **Garau, R., V.A. Prota, R. Piredda and U. Prota.** 1994. Investigations on a stunting factor in *Vitis vinifera* L. transmissible by grafting to Kober 5BB , *Phytopathologia Mediterranea*, 33: 113-118.
  26. **Gomez Talquena, G.S., O. Gracia, S. Gracia Lamposona and O. Grau.** 2003. A young grafted vine decline syndrome in Argentina vineyards. Pages 85-86. In: Extended Abstracts of 14<sup>th</sup> Meeting of ICVG, Locorotondo 2003.
  27. **Greif, C., R. Garau, D. Boscia, V. Prota, M. Fiori, P. Bass, B. walter and U. Prota.** 1995. The relationship of *Grapevine leafroll-associated closterovirus 2* with a graft incompatibility condition of grapevines. *Phytopathologia Mediterranea*, 34: 167-173.
  28. **Haider, M., M. Digiaro, W. Khouri and V. Savino.** 1996. Viruses and virus diseases of grapevine in Lebanon. *Bulletin OEPP*, 26: 147-153.
  29. **Ioannou, N., A. Hadjinicolis and A. Hadjinicoli.** 1997. Epidemiology of the grapevine leafroll-mealybug complex in Cyprus. Pages 123-124. In: Proceeding of 12<sup>th</sup> Meeting ICVG, 29 September - 2 October 1997, Lisbon, Portugal.
  7. **Bonavia, M., M. Digiaro, D. Boscia, A. Boari, G. Bottalico, V. Savino. and G.P. Martelli.** 1996. Studies on corky rugose wood of grapevine and on the diagnosis of *grapevine virus B*. *Vitis*, 35: 53-58.
  8. **Bonfiglioli, R., F. Edwards and A. Pantaleo.** 2003. Molecular studies on a graft incompatibility syndrome in New Zealand vineyards yields another probable variant of Grapevine leafroll-associated virus 2. Extended Abstracts 14th Meeting of ICVG, Locorotondo 2003, 141.
  9. **Boscia, D., A. Minafra and G.P. Martelli.** 1997. Filamentous viruses of the grapevine: Putative *trichoviruses* and *capilloviruses*. Pages 19-26. In: Filamentous viruses of woody plants. P. L. Monette (ed.). Research Signpost, Trivandrum, India.
  10. **Brunt, A.A.** 1995. Grapevine corky bark-associated (?) *closterovirus*. Pages: 618-619. In: *Viruses of Plants - Description and lists from the VIDE database*. A.A. Brunt, K. Crabtree, M.J. Dallwitz, A.J. Bibbs and L. Watson (eds.). CABI International. UK at the University Press, Cambridge.
  11. **Choueiri, E., M. Digiaro and V. Savino.** 1997. Further evidence that grapevine virus A is the agent of Kober stem grooving. Page 39. In: Proceeding of 12<sup>th</sup> Meeting ICVG, 29 September - 2 October 1997, Lisbon, Portugal.
  12. **Clark, M.F. and A.N. Adams.** 1977. Characteristics of the microplate method of enzyme linked immunosorbent assay for the detection of plant viruses. *Journal of General Virology*, 34: 475-483.
  13. **Credi, R. and L. Giunchedi.** 1996. *Grapevine leafroll-associated viruses* and *grapevine virus A* in selected *Vitis vinifera* cultivars in northern Italy. *Plant Pathology*, 45: 1110-1116.
  14. **Digiaro, M., G.P. Martelli and V. Savino.** 1999. Phloem-limited viruses of the grapevine in the Mediterranean and Near East: a synopsis. Pages 83-92. Proceedings of the Mediterranean Network on grapevines *Closteroviruses* 1992-1997 and the viruses and virus-like diseases of the grapevine, a bibliographic report, 1985-1997. G.P. Martelli and M. Digiaro (eds.). Options Mediterraneennes, Series B: Studies and Research, No. 29, CIHEAM/EC-DG-1: 172 pp.
  15. **Digiaro, M., M. Popovic bedzrob, A. M. D'Onghia, D. Boscia and V. Savino.** 1994. On the correlation between *grapevine virus A* and rugose wood. *Phytopathologia Mediterranea*, 33: 187-193.
  16. **Digiaro, M., R. Garau and V. Savino.** 1999. Rugose wood, *Closteroviruses* and grapevine diseases: a review of the situation before the establishment of the network. Pages 67-81. Proceedings of the Mediterranean Network on grapevines *Closteroviruses* 1992-1997 and the viruses and virus-like diseases of the grapevine. a bibliographic report, 1985-1997. G.P. Martelli and M. Digiaro (eds.). Options Mediterraneennes, Series B: Studies and Research, No. 29, CIHEAM/EC-DG-1: 172 pp.
  17. **D'Khili, B., D. Boubals and S. Grenan.** 1996. Etude de l'incompatibilite au greffage chez la vigne. (Study

- and properties of closterovirus-like particles associated with Grapevine corky bark disease. *Phytopathology*, 81: 964-970.
36. **Petersen, C.L. and J.G. Charles.** 1997. Transmission of *Grapevine leafroll-associated closteroviruses* by *Psedococcus longispinus* and *P. calceolariae*. *Plant Pathology*, 46: 509-515.
37. **Sforza, R., V. Komar and C. Greif.** 2000. New scale insect vectors of grapevine *closteroviruses*. Page 14. In: Proceedings of XIII International Council for the study of viruses and virus-like diseases of the grapevine, Adelaide, 2000.
38. **Tanne, E., E. Dubitzky and H. Bazak.** 1991. Preliminary data on the effect of corky-bark disease on Thompson seedless vines grafted on various rootstocks. Pages 386-389. In: Proceedings 10<sup>th</sup> Meeting of ICSVG, Volos, Greece, 1990.
39. **Uyemoto, J.K., A. Rowhani, D. Luvisi and R. Krag.** 2001. New closterovirus in "Redglobe" grape causes decline of grafted plants. *California Agriculture*, 55: 28-31.
40. **Walter, B.** 1997. Effects of viruses on grape and its products. IV. Various virus and virus-like diseases: fleck virus, graft incompatibility, enation and others. *Progres Agricole et Viticole*, 114: 199-204.
41. **Zhang, Y.P., J.K. Uyemoto, D.A. Golino and A. Rowhani.** 1998. Nucleotide sequence and RT-PCR detection of virus associated with grapevine Rupestris stem pitting disease. *Phytopathology*, 88: 1231-1237.
30. **Martelli G.P.** 1993. Grapevine decline – American nepoviruses; Leaf roll; Rugose wood complex. Pages 29-53. In: *Graft-transmissible disease of Grapevine, handbook for detection and diagnosis*. G.P. Martelli (ed.). FAO, Rome.
31. **Martelli, G.P.** 1999. Rugose wood. Infectious diseases and certification of grapevines. Pages 47-64: In: *Proceedings of the Mediterranean Network on grapevines Closteroviruses 1992-1997 and the viruses and virus-like diseases of the grapevine. a bibliographic report, 1985-1997*. G.P. Martelli and M. Digiaro (eds.). Options Mediterraneennes, Series B: Studies and Research, No. 29, CIHEAM/EC-DG-1: 172 pp.
32. **Martelli, G.P. and W. Jelmann.** 1998. *Foveavirus*, a new plant virus genus. *Archives of Virology*, 143: 1245-1249.
33. **Monis, J. and R.K. Bestwick.** 1997. Relationship between *Grapevine leafroll associated virus-2*, *Grapevine corky bark associated virus*, and the rootstock-scion incompatibility syndrome. *American Journal for Enology and Viticulture*, 48: 393.
34. **Mslmanieh, T.M.** 2005. Preliminary evaluation of the sanitary status of grapevine in Syria. Thesis of Master of science integrated pest management of Mediterranean fruit crops, Collection Master of Science n. 399. Instituto Agronomico Mediterraneo di Bari, CIHEAM: 46 pp.
35. **Namba S., D. Boscia, O. Azzam, M. Maixner, J. S. Hu, D. Golino and D. Gonsalves.** 1991. Purification

Received: June 19, 2007; Accepted: May 21, 2008

تاریخ الاستلام: 2007/6/19؛ تاریخ الموافقة على النشر: 2008/5/21